

FOTOGRAFIAS

9049.- Aspecto general de los materiales que integran la Unidad Silícea (U.T.S. MC) en el margen izquierdo del Arroyo de la Ribera.

9050.- Detalle de los depósitos señalados en 9049. Conglomerados fuertemente cementados por sílice (U.T.S. MC).

9051.- Aspecto general de los conglomerados y areniscas que integran la Unidad Silícea en las proximidades de El Arco (U.T.S. MC).

9052.- Detalle de los conglomerados señalados en 9051. Se aprecia una importante cementación por sílice y su concentración a favor de raíces.

9053.- Panorámica del contacto entre los materiales que integran la U.T.S. P1 (colores blancos de la base del cerro) y los de la U.T.S. P2 (colores del techo del cerro). Proximidades de Almenara de Tormes.

9054.- Panorámica tomada en las proximidades de Almenara de Tormes. En la parte inferior (color blanco) afloran los materiales de la U.T.S. P1 y en la superior (color ocre) los depósitos de la U.T.S. P2.

9055.- Aspecto general de los materiales arcósicos que integran la U.T.S. P1 y nivel de encostramiento (color blanco) del techo de esa unidad. Margen izquierdo del Tormes, en las proximidades de Almenara de Tormes.

9056.- Conglomerados arcósicos con estratificación cruzada. U.T.S. P1. Detalle del afloramiento señalado en 9055.

9057.- Detalle del nivel de encostramiento carbonatado que aflora a techo de la U.T.S. P1. Margen izquierdo del Tormes, en las proximidades de Almenara de Tormes.

9058.- Conglomerados, arenas y lutitas arenosas ordenadas en secuencias granodecrescentes. Mina de Aldearrodrigo. U.T.S. P1.

9059.- Conglomerados de naturaleza arcósica con matriz arcillosa. U.T.S. P1. Mina de Aldearrodrigo.

9060.- Conglomerados de naturaleza arcósica con un bajo contenido en matriz arcillosa. U.T.S. P1. Mina de Aldearrodrigo.

9061.- Lutitas arenosas con rasgos de carácter edáfico. U.T.S. P1. Mina de Aldearrodrigo.

9062.- Aspecto general de los materiales de la U.T.S. P1 en un corte de dirección N-S dentro de la Mina de Aldearrodrigo. La parte inferior del escarpe está constituida por conglomerados, arenas y lutitas arcósicas que forman unidades de acreción lateral. Hacia el techo afloran limos arenosos con abundantes rasgos de carácter edáfico.

9063.- Base del afloramiento citado en 9062. Está constituido por unidades complejas de materiales arcósicos con estratificación cruzada de tipo épsilon (sensu ALLEN, 1963).

9064.- Detalle de la organización interna de los materiales arcósicos que constituyen los cuerpos con estratificación cruzada épsilon.

9065.- Unidades de acreción lateral constituidas por arenas con laminación cruzada debida a la migración de ripples que ascienden por las láminas de acreción.

9066.- Arenas y lutitas arcósicas truncadas por un cuerpo de base canalizada constituido por conglomerados y arenas.

9067.- Lutitas arcósicas de color verde-ocre que intercalan cuerpos de conglomerados y arenas arcósicas de base canalizada. U.T.S. P1. Mina de Aldearrodrigo.

9068.- Detalle de lutitas bioturbadas y arenas micáceas que afloran hacia la base de la U.T.S. P2 en las proximidades de Villamayor.

9069.- Arenas micáceas fuertemente bioturbadas. U.T.S. P2. Proximidades de Villamayor.

9070.- Alternancia de conglomerados con estratificación cruzada en surco y arenas bioturbadas. U.T.S. P2. Proximidades de Villamayor.

9071.- Aspecto general de los conglomerados, arenas y lutitas que integran la U.T.S. P2 en las proximidades de Villamayor.

9072.- Arenas micáceas masivas con niveles centimétricos de costras carbonatadas. U.T.S. P2. Proximidades de Valdunciel.

9073.- Detalle de los niveles de costra carbonatados (dolomita).

9074.- Arenas limosas con rasgos de edafización y conglomerados enrojecidos. U.T.S. P2. Proximidades de Valdunciel.

9075.- Detalle del nivel conglomerático de 9074. Los conglomerados están constituidos por cantos de cuarzo, cuarcita y lilita cementados por carbonato (calcita).

9076.- Perfil de alteración roja (Mioceno) desarrollado sobre sedimentos arenosos de la U.T.S. P2. Km 219 de la carretera N-630.

9077.- Perfil de alteración roja (Mioceno) desarrollado sobre los sedimentos arenosos de la U.T.S. P2. Nótese la base irregular de dicho perfil. Km 219.5 de la carretera N-630.

9078.- Encostramiento carbonatado desarrollado sobre los sedimentos arenosos de la U.T.S. P2. Km 218.8 de la carretera N-630.

9079.- Rubefacción y argilización de los sedimentos arenosos de la U.T.S. P2 (alteración roja miocena). Km 219 de la carretera N-630.

9080.- Detalle del encostramiento carbonatado (calcita) citado en 9078.

9081.- Karstificación de un nivel de encostramiento desarrollado sobre los materiales de la U.T.S. P2. Km 220 de la carretera N-630.

9082.- Conglomerados y arenas con una disposición vertical en una zona de fractura de dirección N30E. Nótese la disposición horizontal de los materiales situados en la lateral (U.T.S. P2). Km 2 de la carretera que une Valdelosa con la N-630.

9083.- Conglomerados y arenas (U.T.S. P2) afectados por un perfil de alteración roja (rubefacción y argilización miocena). Km 2 de la carretera que une Valdelosa con la N-630.

9084.- Conglomerados y arenas arcósicas (U.T.S. P3). Obsérvese el alto contenido en feldespatos y su buen estado de preservación. Proximidades de Moriscos.

9085.- Detalle de un feldespato del nivel conglomerático citado en 9084.

9086.- Gravas (moda 4 mm), arenas y lutitas de naturaleza arcósica ordenadas en secuencias granodecrescentes. U.T.S. P3. Proximidades de Monterrubio de la Armuña.

9087.- Lutitas con nódulos y costras carbonatadas (U.T.S. P3). Proximidades de Monterrubio de la Armuña.

9088.- Aspecto textural de las gravas arcósicas. Base de la secuencia señalada en 9086.

9089.- Rizocreciones remarcadas por carbonatos dentro de las lutitas arcósicas señaladas en 9087.

9090.- Desarrollo incipiente de niveles de costras carbonatadas. Proximidades de Monterrubio de la Armuña.

9091.- Costra carbonatada que se sitúa hacia techo de la secuencia señalada en 9086.

9092.- Encostramientos carbonatados desarrollados sobre materiales arcósicos de la U.T.S. P3. Proximidades de Villares de la Reina.

9093.- Sedimentos arcósicos finos que intercalan niveles de costras carbonatadas (calcita). U.T.S. P3. Proximidades de Monterrubio de la Armuña.

9094.- Aspecto general de los materiales arcósicos (U.T.S. P3) que afloran en el margen izquierdo del río Tormes. Proximidades de Almenara de Tormes.

9095.- Conglomerados y arenas arcósicas (U.T.S. P3) afectados por un proceso de alteración rojo (rubefacción y argilización miocenas). Margen izquierdo del río Tormes. Proximidades de Almenara de Tormes.

9096.- Conglomerados arcósicos (U.T.S. P3) afectados por procesos de rubefacción y argilización.

9097.- Lutitas rojas y carbonato en enrejado (U.T.S. N1). Km 2.4 de la carretera comarcal que une Salamanca y La Mata de la Armuña.

9098.- Detalle de la distribución en enrejado del carbonato que se desarrolla sobre las lutitas rojas de 9097.

9099.- Lutitas y arenas (U.T.S. P1). Cerro El Carrascal.

9100.- Aspecto textural de los conglomerados arcósicos que integran el tramo medio de la U.T.S. P1. El Carrascal.

9101.- Cuerpos de base canalizada constituidos por conglomerados y arenas fuertemente cementadas por sílice (U.T.S. P2). El Carrascal.

9102.- Aspecto textural de los conglomerados citados en 9101.

9103.- Conglomerados y arenas arcósicas ordenados en secuencias granodecrecientes (techo de la U.T.S. P1). Proximidades de El Arco.

9104.- Conglomerados con estratificación cruzada en surco de gran escala (U.T.S. P1). Proximidades de El Arco.

9105.-Conglomerados y arenas arcósicas con estratificación cruzada en surco de mediana escala (U.T.S. P1). Proximidades de El Arco.

9106.- Panorámica tomada desde la Ermita de El Viso hacia el NO de la Hoja. En primer término los materiales correspondientes a la U.T.S. P3. Al fondo, y en posiciones topográficas más altas, afloran los sedimentos de la U.T.S. P2.

9107.- Panorámica tomada desde la Ermita del Viso hacia el NNE de la Hoja. Al fondo los materiales correspondientes a la U.T.S. P2. Topográficamente más bajos (depósitos blancos de la Estación de Valdunciel) afloran los sedimentos arcósicos que integran la U.T.S. P3.







































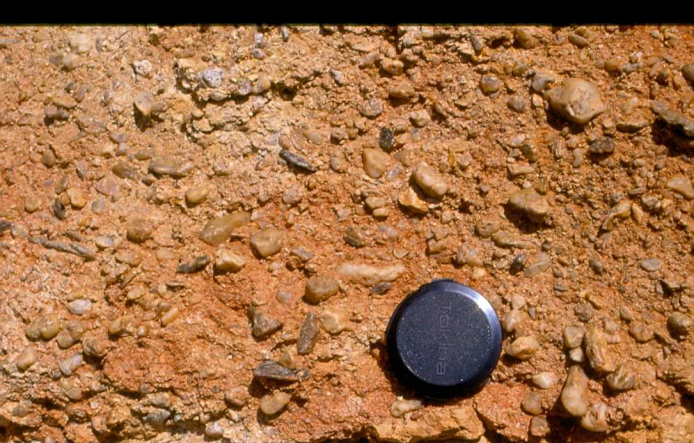
































0 1 3 5 7

CENTIMETRES











































